

بِسْمِ اللّٰهِ الرَّحْمٰنِ الرَّحِيْمِ



دانشگاه صنعتی اصفهان
دانشکده مهندسی مواد

تأثیر فعال سازی مکانیکی بر احیای کربو ترمی مولیبدنیت در حضور اکسیدهای قلیایی

پایان نامه کارشناسی ارشد
مهندسی مواد – استخراج فلزات

خدیجه بیرالوند

اساتید راهنما
دکتر محمد حسن عباسی
دکتر علی سعیدی



دانشگاه صنعتی اصفهان

دانشکده مهندسی مواد

پایان نامه کارشناسی ارشد گرایش استخراج فلزات خانم خدیجه بیرالوند

تحت عنوان

**تأثیر فعال سازی مکانیکی بر احیای کربو ترمی مولیبدنیت
در حضور اکسیدهای قلیایی**

توسط کمیته تخصصی زیر مورد بررسی و تصویب نهايی قرار گرفت.

در تاریخ

دکتر محمد حسن عباسی

۱- استاد راهنما

دکتر علی سعیدی

۲- استاد راهنما

دکتر مهدی احمدیان

۳- استاد داور

دکتر حسین ادریس

۴- استاد داور

دکتر مسعود پنجه پور

۵- سرپرست تحصیلات تکمیلی دانشکده

توراچونه شکر کویم

نمیت وجود، بودن وزنگی کردن که از دک عالمت آن ناتوانم

خدایا تو را آنکونه که هستی دوست دارم، پس مرآ آنکونه قرارده که دوست داری.

در آغاز لازم می دانم از زحمات جبران ناپذیر پدر و مادر عزیزم قدردانی کنم.

از اساتید راهنمای بزرگوارم جناب آقای دکتر محمد حسن عباسی و جناب آقای دکتر علی سعیدی که با راهنمایی های بی دریغشان راهگشای اینجانب بوده اند کمال تشکر و سپاسگزاری را دارم.

از جناب آقای دکتر مهدی احمدیان و جناب آقای دکتر حسین ادريس که زحمت مطالعه و داوری پایان نامه را بر عهده گرفته اند کمال تشکر و قدردانی را دارم.

همچنین از سرپرست تحصیلات تکمیلی جناب آقای دکتر مسعود پنجه پور سپاسگزاری می نمایم.

خدیجه بیرالووند

اسفند ۱۳۹۰

کلیه حقوق مادی مترتب بر نتایج مطالعات،
ابتكارات و نوآوری‌های ناشی از تحقیق موضوع
این پایان نامه، متعلق به دانشگاه صنعتی
اصفهان است.

به پاس تعبیر عظیم و انسانی شان از کلمه ایشاد و از خودکند گفتگی

به پاس عاظمه سرشار و کرمای امید نخش وجود شان که در این سردترین روزگاران بسترین پشتیان است،

به پاس قلب های بزرگشان که فریادرس است و سرگردانی و ترس در پناهشان به شجاعت می گراید

و به پاس محبت های بی دینشان که هرگز فروکش نمی کند

رساله حاضر را به پدر و مادر عزیزم تقدیم می کنم

فهرست مطالب

صفحه	عنوان
.....	فهرست مطالب
.....	فهرست اشکال
.....	فهرست جداول
.....	چکیده
.....	فصل اول : مقدمه
۲	
.....	فصل دوم : مروری بر مطالب
۵	۱-۱- معرفی و تاریخچه
۷	۱-۲- روش‌های تولید مولیبدن از مولیبدنیت
۸	۱-۲-۱- فرآیندهای هیدرومالتالورژی
۸	۱-۲-۲- فرآیندهای پایرومتالورژی
۸	الف- تشویه مولیبدنیت
۹	ب- احیا در حضور عامل جاذب گوگرد
۱۳	۱-۳-۱- سیستم دوتایی Mo-S
۱۴	۱-۳-۲- سیستم دوتایی Mo-O
۱۵	۱-۳-۳- سیستم سه تایی Mo-O-S
۱۶	۱-۳-۴- سیستم سه تایی Mo-S-C (احیای کربوترمی مولیبدنیت)
۱۷	۱-۴- احیای کربوترمی مولیبدنیت در حضور عامل جاذب گوگرد
۱۸	۱-۴-۱- بررسی ترمودینامیکی احیای کربوترمی مولیبدنیت در حضور آهک
۱۸	۱-۴-۲- بررسی سیستیک احیای کربوترمی مولیبدنیت در حضور آهک
۲۰	۱-۴-۳- عوامل مؤثر بر سیستیک فرآیند
۲۱	الف- دما
۲۲	ب- مواد اولیه و نسبت مولی مواد
۲۴	۲-۵- فعال سازی مکانیکی
۲۴	۲-۶- بررسی تحقیقات انجام شده و اهداف پژوهه
.....	فصل سوم: آنالیز داده های سیستیکی در بررسی های غیر هم‌دما
۳۴	۱-۳- مقدمه
۳۴	۲-۳- مدل‌های ریاضی
۳۶	۲-۲-۱- تعیین مدل سیستیکی واکنش با توجه به اطلاعات TG
۳۷	۲-۲-۲- برآذش مدل
۳۷	۲-۳- روش‌های بدون مدل

۳۷ روشن فریدمن
۳۸ روشن اوزاوا
۳۸ روشن کسینجر

فصل چهارم: مواد و روش تحقیق

۴۰ مواد اولیه
۴۲ تجهیزات مورد استفاده
۴۲ آسیاب سیارهای
۴۲ دستگاه پراش پرتو ایکس
۴۳ میکروسکوپ الکترونی روبشی
۴۳ دستگاه STA
۴۳ کوره لوله ای
۴۳ روش تحقیق
۴۳ روش محاسبه پارامترها
۴۵ محاسبه اندازه دانه و کرنش شبکه
۴۷ محاسبه درصد بی شکل شدگی ساختاری
۴۷ کدگذاری نمونه ها

فصل پنجم: نتایج و بحث

۴۸ ترمودینامیک احیای کربوترمی مولیبدنیت در حضور اکسیدمنیزیم
۴۸ MoS ₂ -MgO-C و MoS ₂ -MgO
۵۳ احیای اکسیدهای مولیبدن با کربن
۵۳ الف- سیستم Mo-O-C
۵۵ ب- سیستم Mo-Mg-O-C
۵۷ ۲- فعال سازی مکانیکی
۵۷ ۱- تأثیر آسیاکاری بر تغییرات فازی
۵۹ ۲- تأثیر آسیاکاری بر تغییرات ساختاری
۵۹ الف- درصد بی شکل شدگی ساختاری
۵۹ - درصد بی شکل شدگی ساختاری ذرات در مخلوط های پودری MMG و MDG
۶۰ ب- بررسی تغییرات اندازه دانه
۶۱ - بررسی تغییرات اندازه دانه مولیبدنیت در مخلوط های پودری MMG و MDG
۶۲ ج- بررسی تغییرات میزان کرنش ساختاری
۶۲ - تغییرات میزان کرنش ساختاری ذرات مولیبدنیت در مخلوط های MMG و MDG
۶۳ د- پارامترهای فعال سازی مکانیکی
۶۳ - پارامتر $\beta/\tan\theta$
۶۵ - پارامتر e/d
۶۶ ۳- تغییرات مورفولوژی ذرات
۶۷ الف- بررسی مورفولوژی مواد اولیه

ب- بررسی تغییرات مورفولوژی ذرات در مخلوط MMG (مولیدنیت، اکسیدمنیزیم و گرافیت).....	۶۸
ج- بررسی تغییرات مورفولوژی ذرات در مخلوط MDG (مولیدنیت، دولومیت و گرافیت).....	۷۰
۵-۳- تأثیر فعال سازی مکانیکی، بر سینتیک احیای کربوترمی مولیدنیت در حضور اکسیدمنیزیم	۷۲
۵-۳-۱- تأثیر فعال سازی مکانیکی بر فرآیند احیا و منحنی های کسر انجام واکنش α و DTG	۷۳
۵-۳-۲- بررسی سینتیک احیای کربوترمی مولیدنیت با استفاده از روش های بدون مدل	۷۶
الف- نمونه MMG0	۷۸
- سینتیک احیای کربوترمی مولیدنیت با استفاده از روش های فریدمن و اوزاوا.....	۷۸
- سینتیک احیای کربوترمی مولیدنیت با استفاده از روش کسینجر.....	۸۰
ب- نمونه MMG50	۸۱
- سینتیک احیای کربوترمی مولیدنیت با استفاده از روش های فریدمن و اوزاوا.....	۸۱
- سینتیک احیای کربوترمی مولیدنیت با استفاده از روش کسینجر.....	۸۲
۵-۳-۳- بررسی سینتیک احیای کربوترمی مولیدنیت با استفاده از روش کوتز-ردفرن	۸۳
الف- سینتیک احیای نمونه فعال سازی نشده (MMG0)	۸۳
ب- سینتیک احیای نمونه فعال سازی مکانیکی شده (MMG50)	۸۴
۴-۳-۵- پیشنهاد مکانیزم واکنش احیای کربوترمی مولیدنیت در حضور اکسیدمنیزیم	۸۷
الف- نمونه MMG0	۸۷
ب- نمونه MMG50	۸۹
۴-۴- تأثیر فعال سازی مکانیکی، بر سینتیک احیای کربوترمی مولیدنیت در حضور دولومیت تکلیس شده	۹۱
۴-۴-۱- احیای کربوترمی مولیدنیت در حضور دولومیت تکلیس شده	۹۱
۴-۴-۲- بررسی تأثیر فعال سازی مکانیکی بر فرآیند احیا و منحنی های کسر انجام واکنش α و DTG	۹۱
۴-۴-۳- بررسی سینتیک احیای کربوترمی مولیدنیت با استفاده از روش های بدون مدل	۹۴
الف- نمونه MDG0	۹۵
- بررسی سینتیک احیای کربوترمی مولیدنیت با استفاده از روش های فریدمن و اوزاوا.....	۹۵
- سینتیک احیای کربوترمی مولیدنیت با استفاده از روش کسینجر.....	۹۷
ب- نمونه MDG50	۹۸
- بررسی سینتیک احیای کربوترمی مولیدنیت با استفاده از روش های فریدمن و اوزاوا.....	۹۸
- سینتیک احیای کربوترمی مولیدنیت با استفاده از روش کسینجر.....	۹۹
۴-۴-۵- بررسی سینتیک احیای کربوترمی مولیدنیت با استفاده از روش کوتز-ردفرن	۱۰۰
الف- نمونه MDG0	۱۰۰
ب- نمونه MDG50	۱۰۲
۴-۵- پیشنهاد مکانیزم واکنش احیای کربوترمی مولیدنیت در حضور دولومیت تکلیس شده	۱۰۳
الف- نمونه فعال سازی نشده (MDG0)	۱۰۳
ب- نمونه فعال سازی مکانیکی شده (MDG50)	۱۰۵
فصل ششم : نتیجه گیری و پیشنهادات	
۶-۱- نتیجه گیری	۱۰۶
۶-۲- پیشنهادات	۱۰۸
مراجع	۱۰۹

فهرست اشکال

عنوان	صفحه
شكل ۱-۲: مولیدنیت.....	۶
شكل ۲-۲: نمایش شماتیک، قرارگیری اتم های گوگرد و مولیدن در ساختار کریستالی مولیدنیت.....	۶
شكل ۳-۲: روندnamای تولید مولیدن از مولیدنیت در فرآیند تشویه.....	۸
شكل ۴-۲: نمودار فازی سیستم $\text{MoS}_2\text{-CaO-CO}$ در دمای 1200 K	۱۰
شكل ۵-۲: تأثیر مقدار آهک بر احیای مولیدنیت با CO در حضور آهک.....	۱۱
شكل ۶-۲: تأثیر نرخ دمش گاز بر احیای مولیدنیت با H_2 و CO در حضور آهک.....	۱۲
شكل ۷-۲: نمودار فازی سیستم دوتایی Mo-S	۱۳
شكل ۸-۲: نمودار فازی سیستم دو تایی Mo-O	۱۴
شكل ۹-۲: نواحی پایداری $\text{MoS}_2\text{-MoO}_3\text{-MoO}_2$ در دمای 630°C به صورت تابعی از P_{O_2} و P_{SO_2}	۱۶
شكل ۱۰-۲: نمودار نسبت تعادلی $\frac{P_{\text{CS}2}}{P_{\text{CS}}}$ به عنوان تابعی از دما، برای احیای مستقیم با کربن	۱۷
شكل ۱۱-۲: دیاگرام پایداری برای سیستم Mo-Ca-S-O-C در دمای 900°C	۱۹
شكل ۱۲-۲: الگوی پراش XRD، برای مخلوط $\text{MoS}_2\text{-CaO}$	۲۰
شكل ۱۳-۲: تأثیر دما بر روی نرخ احیای مولیدنیت با کربن در حضور آهک	۲۱
شكل ۱۴-۲: اثر مقدار کربن بر احیای مولیدنیت در حضور آهک	۲۲
شكل ۱۵-۲: تأثیر مقدار آهک بر روی نرخ احیای مولیدنیت با کربن.....	۲۳
شكل ۱۶-۲: تأثیر مقدار آهک بر روی نرخ احیای مولیدنیت با مونوکسید کربن.....	۲۳
شكل ۱۷-۲: اثر آهک بر سولفور زدایی سولفید مس، توسط هیدروژن، تحت دماهای مختلف.....	۲۵
شكل ۱۸-۲: اثر دما بر احیای سولفید نیکل با کربن در حضور آهک	۲۶
شكل ۱۹-۲: تأثیر مقدار کربن و آهک بر احیای کربوترومی کالکوپیریت، در دمای 850°C	۲۷
شكل ۲۰-۲: تأثیر مقدار آهک بر میزان گوگرد منتشر شده، در احیای مولیدنیت با هیدروژن و مونوکسید کربن	۲۸
شكل ۲۱-۲: تغییرات سطوح ویژه مولیدنیت بر حسب زمان آسیاب کاری	۳۰
شكل ۲۲-۲: نمودار XRD، محصول فرایند احیا تحت دمای 1200 (نمونه آسیا کاری نشده).....	۳۰
شكل ۲۳-۲: نمودار XRD، محصول فرایند احیا تحت دمای 1200 ساعت آسیا کاری شده).....	۳۱
شكل ۲۴-۲: منحنی های DTA برای اکسیداسیون مولیدنیت آسیا شده و آسیا نشده	۳۱
شكل ۲۵-۲: نمودار کسر انجام واکنش بر حسب دما برای نمونه ها با توجه به زمان فعال سازی.....	۳۲
شكل ۱-۴: الگوی پراش پرتو ایکس و تصویر میکروسکوپ الکترونی مربوط به مولیدنیت خالص.....	۴۰
شكل ۲-۴: الگوی پراش پرتو ایکس و تصویر میکروسکوپ الکترونی مربوط به گرافیت خالص.....	۴۱
شكل ۳-۴: الگوی پراش پرتو ایکس و تصویر میکروسکوپ الکترونی مربوط به اکسید منیزیم خالص	۴۱
شكل ۴-۴: الگوی پراش پرتو ایکس و تصویر میکروسکوپ الکترونی مربوط به دولومیت تکلیس شده.....	۴۲
شكل ۵-۴: روند نمای انجام پروژه.....	۴۴
شكل ۶-۴: بهنای بیک در نصف ارتفاع ماکسیمم	۴۶

شکل ۱-۵: دیاگرام پایداری برای سیستم Mo-Mg-S-O، در دمای K_{۱۲۰۰}.....۵۰

شکل ۲-۵: دیاگرام پایداری برای سیستم Mo-Mg-S-O-C، در دمای K_{۱۲۰۰}.....۵۱

شکل ۳-۵: نسبت P_{CO2}/P_{CO} تعادلی برای احیای MoO₂ با کربن.....۵۴

شکل ۴-۵: نسبت P_{CO2}/P_{CO} تعادلی نسبت به دما در احیای MgMoO₄ با کربن.....۵۶

شکل ۵-۵: الگوهای پراش پرتو ایکس، مربوط به نمونه‌های MMG۵۸

شکل ۶-۵: الگوهای پراش پرتو ایکس، مربوط به نمونه‌های MDG۵۸

شکل ۷-۵: تغییرات درصد بی‌شکل شدگی ساختاری ذرات مولیبدن۶۰

شکل ۸-۵: نمودار تغییرات مقادیر $(B/\tan\theta \cdot \sin\theta)^2$ ، نسبت به۶۱

شکل ۹-۵: تغییرات اندازه ذرات مولیبدنیت، با زمان فعال‌سازی در نمونه‌های MDG و MMG۶۲

شکل ۱۰-۵: تغییرات کرنش ساختاری ذرات مولیبدنیت، نسبت به زمان آسیاب‌کاری۶۳

شکل ۱۱-۵: تغییرات B نسبت به $\tan\theta$ ، برای مولیبدنیت (نمونه 20MMG)۶۴

شکل ۱۲-۵: تغییرات پارامتر فعال‌سازی (d/e) برای ذرات مولیبدنیت۶۶

شکل ۱۳-۵: تصاویر میکروسکوپ الکترونی روبشی ذرات مولیبدنیت خالص۶۷

شکل ۱۴-۵: تصاویر میکروسکوپ الکترونی روبشی ذرات گرافیت خالص۶۷

شکل ۱۵-۵: تصاویر میکروسکوپ الکترونی روبشی ذرات اکسید مینیزیم خالص۶۸

شکل ۱۶-۵: تصاویر میکروسکوپ الکترونی روبشی ذرات دولومیت تکلیس شده۶۸

شکل ۱۷-۵: تصاویر میکروسکوپ الکترونی روبشی، ذرات مخلوط پودری MMG۶۹

شکل ۱۸-۵: تصاویر میکروسکوپ الکترونی روبشی، ذرات مخلوط پودری MDG۷۱ و ۷۲

شکل ۱۹-۵: نمودار DTG مربوط به نمونه MMG0 (نرخ حرارت دهی $10^{\circ}\text{C}/\text{min}$)۷۴

شکل ۲۰-۵: نمودار DTG مربوط به نمونه MMG50 (نرخ حرارت دهی $10^{\circ}\text{C}/\text{min}$)۷۴

شکل ۲۱-۵: تغییرات کسر انجام واکنش بر حسب دما برای مخلوط MMG0 (نرخ حرارت دهی $10^{\circ}\text{C}/\text{min}$)۷۵

شکل ۲۲-۵: تغییرات کسر انجام واکنش بر حسب دما برای مخلوط MMG50 (نرخ حرارت دهی $10^{\circ}\text{C}/\text{min}$)۷۶

شکل ۲۳-۵: تغییرات کسر انجام واکنش بر حسب دما مربوط به نمونه 0MMG۷۷

شکل ۲۴-۵: تغییرات کسر انجام واکنش بر حسب دما مربوط به نمونه 50MMG۷۷

شکل ۲۵-۵: تغییرات $\ln(\beta) \frac{d\alpha}{dT}$ ، نسبت به $1/T$ با توجه به رابطه فریدمن (نمونه 0MMG)۷۹

شکل ۲۶-۵: تغییرات $\log(\beta)$ ، نسبت به $1/T$ ، با توجه به رابطه اوزاوا (نمونه 0MMG)۷۹

شکل ۲۷-۵: تغییرات انرژی اکتیواسیون بر حسب کسر پیشرفت واکنش۸۰

شکل ۲۸-۵: نمودار $\ln \frac{\beta}{T_m}$ بر حسب $1/T_m$ با توجه به رابطه کسینجر (نمونه 0MMG)۸۱

شکل ۲۹-۵: نمودار تغییرات انرژی اکتیواسیون بر حسب کسر پیشرفت واکنش (نمونه 50MMG)۸۲

شکل ۳۰-۵: نمودار $\ln \frac{\beta}{T_m^2}$ بر حسب $1/T_m$ با توجه به رابطه کسینجر (نمونه 50MMG)۸۲

شکل ۳۱-۵: تغییرات $\ln(g(\alpha)/T^2)$ ، بر حسب $1/T$ ، برای مدل‌های مختلف مربوط به نمونه 0MMG۸۴

شکل ۳۲-۵: تغییرات $\ln(g(\alpha)/T^2)$ ، بر حسب $1/T$ ، برای مدل‌های مختلف مربوط به نمونه 50MMG۸۶

شکل ۳۳-۵: الگوی XRD محصول حاصل از احیا تحت شرایط ایزوترم در دمای C° (نمونه فعال‌سازی نشده)۸۷

شکل ۳۴-۵: الگوی XRD، محصول حاصل از احیا تحت شرایط ایزوترم در دمای C° (نمونه فعال‌سازی نشده)۸۷

- شکل ۳۵-۵: الگوی XRD، محصول حاصل از احیا تحت شرایط ایزوترم در دمای 600°C (نمونه فعال‌سازی شده) ۸۹
- شکل ۳۶-۵: الگوی XRD، محصول حاصل از احیا تحت شرایط ایزوترم در دمای 730°C (نمونه فعال‌سازی شده) ۹۰
- شکل ۳۷-۵: نمودار DTG، مربوط به نمونه MDG0 (نرخ حرارت دهی $10^{\circ}\text{C}/\text{min}$) ۹۲
- شکل ۳۸-۵: نمودار DTG، مربوط به نمونه MDG50 (نرخ حرارت دهی $10^{\circ}\text{C}/\text{min}$) ۹۲
- شکل ۳۹-۵: تغییرات کسر پیشرفت واکنش بر حسب دما، مربوط به نمونه MDG0 (نرخ حرارت دهی $10^{\circ}\text{C}/\text{min}$) ۹۳
- شکل ۴۰-۵: تغییرات کسر پیشرفت واکنش بر حسب دما، مربوط به نمونه MDG50 (نرخ حرارت دهی $10^{\circ}\text{C}/\text{min}$) ۹۴
- شکل ۴۱-۵: تغییرات کسر انجام واکنش بر حسب دما مربوط به نمونه MDG0 ۹۵
- شکل ۴۲-۵: تغییرات کسر انجام واکنش بر حسب دما، مربوط به نمونه MDG50 ۹۵
- شکل ۴۳-۵: تغییرات $\ln(\beta \frac{d\alpha}{dT})$ ، نسبت به $1/T$ برای مقادیر مختلف کسر انجام واکنش (نمونه MDG0) ۹۶
- شکل ۴۴-۵: تغییرات $\log(\beta)$ ، نسبت به $1/T$ برای مقادیر مختلف کسر انجام واکنش (نمونه MDG0) ۹۷
- شکل ۴۵-۵: تغییرات انرژی اکتیواسیون بر حسب کسر پیشرفت واکنش، با استفاده از روش‌های فریدمن و اوزاوا ۹۷
- شکل ۴۶-۵: نمودار $\ln \frac{\beta}{T_m^2}$ بر حسب $1/T_m$ با توجه به رابطه کسینجر (نمونه MDG0) ۹۸
- شکل ۴۷-۵: تغییرات انرژی اکتیواسیون بر حسب کسر پیشرفت واکنش (نمونه MDG50) ۹۹
- شکل ۴۸-۵: نمودار $\ln \frac{\beta}{T_m^2}$ بر حسب $1/T_m$ با توجه به رابطه کسینجر (نمونه MDG50) ۱۰۰
- شکل ۴۹-۵: تغییرات $\ln(g(\alpha)/T^2)$ بر حسب $1/T$ ، برای مدل‌های مختلف (نمونه MDG0) ۱۰۱
- شکل ۵۰-۵: تغییرات $\ln(g(\alpha)/T^2)$ بر حسب $1/T$ ، برای مدل‌های مختلف (نمونه MDG50) ۱۰۲

فهرست جداول

صفحه

عنوان

۷	جدول ۱-۲ : خواص فیزیکی و شیمیایی مولیبدنیت
۱۰	جدول ۲-۲ : مقادیر ثابت تعادل، ΔG° و ΔH° برای واکنش‌های احیای مستقیم
۲۱	جدول ۳-۲ : آنالیز XRD، از محصولات حاصل از مخلوط‌های (MoS ₂ -CaO-C)، (MoS ₂ -CaO) و (MoS ₂ -C)
۲۹	جدول ۴-۲ : ارتباط میان D و f برای مینرال‌های سولفیدی مختلف، تحت زمان‌های مختلف آسیاب کاری
۳۵	جدول ۱-۳ : مدل‌های سینتیکی واکنش‌های حالت جامد بر حسب $f(\alpha)$ و $g(\alpha)$
۴۱	جدول ۱-۴ : مشخصات مواد اولیه استفاده شده در این پژوهش
۴۷	جدول ۲-۴ : شرح کدهای مربوط به نمونه‌های مورد استفاده در این پژوهش
۴۹	جدول ۱-۵ : واکنش‌های شیمیایی مستقل موجود در سیستم MoS ₂ -MgO همراه با مقادیر ΔG° (دما: K ۱۲۰۰)
۵۰	جدول ۲-۵ : واکنش‌های شیمیایی مستقل موجود در سیستم MoS ₂ -MgO-C همراه مقادیر ΔG° (دما: K ۱۲۰۰)
۵۲	جدول ۳-۵ : ترکیب تعادلی فاز گازی در سیستم Mg-S-O-C
۵۹	جدول ۴-۵ : تغییرات در صد بی‌شکل شدگی ساختاری ذرات در مخلوط MMG
۶۰	جدول ۵-۵ : تغییرات در صد بی‌شکل شدگی ساختاری ذرات در مخلوط MDG
۶۵	جدول ۶-۵ : شب خطوط حاصل از تغییرات B نسبت به Tanθ، برای مولیبدنیت در مخلوط MMG
۶۵	جدول ۷-۵ : شب خطوط حاصل از تغییرات B نسبت به Tanθ، برای مولیبدنیت در مخلوط MDG
۸۰	جدول ۸-۵ : مقادیر انرژی اکتیواسیون و ضریب همبستگی محاسبه شده در روش‌های فریدمن و اوزاوا
۸۰	جدول ۹-۵ : دمای پیک ظاهر شده در منحنی‌های DTA با سرعت گرمادهی مختلف
۸۱	جدول ۱۰-۵ : مقادیر انرژی اکتیواسیون و ضریب همبستگی محاسبه شده در روش‌های فریدمن و اوزاوا
۸۳	جدول ۱۱-۵ : دمای پیک ظاهر شده در منحنی‌های DTA با سرعت گرمادهی مختلف
۸۵	جدول ۱۲-۵ : پارامترهای سینتیکی محاسبه شده با استفاده از تقریب کوتز-ردفرن (نمونه MMG0)
۸۶	جدول ۱۳-۵ : پارامترهای سینتیکی محاسبه شده با استفاده از تقریب کوتز-ردفرن (نمونه MMG50)
۹۶	جدول ۱۴-۵ : مقادیر انرژی اکتیواسیون و ضریب همبستگی محاسبه شده با توجه به روش‌های فریدمن و اوزاوا
۹۸	جدول ۱۵-۵ : دمای پیک ظاهر شده در منحنی‌های DTA با سرعت گرمادهی مختلف (نمونه MDG0)
۹۹	جدول ۱۶-۵ : مقادیر انرژی اکتیواسیون و ضریب همبستگی محاسبه شده با توجه به روش‌های فریدمن و اوزاوا
۹۹	جدول ۱۷-۵ : دمای پیک ظاهر شده در منحنی‌های DTA با سرعت گرمادهی مختلف (نمونه MDG50)
۱۰۱	جدول ۱۸-۵ : پارامترهای سینتیکی محاسبه شده با استفاده از تقریب کوتز-ردفرن (نمونه MDG0)
۱۰۳	جدول ۱۹-۵ : پارامترهای سینتیکی محاسبه شده با استفاده از تقریب کوتز-ردفرن

چکیده

در این پژوهش ترمودینامیک و سینتیک احیای کربوترمی مولبیدنیت در حضور عوامل اکسیدی قلایابی شامل اکسیدمنزیم و دولومیت تکلیس شده، مورد بررسی قرار گرفت. همچنین اثر فعالسازی مکانیکی بر تغییرات ساختاری و رفتار احیایی دو مخلوط پودری (مولبیدنیت، کربن و اکسیدمنزیم) و (مولبیدنیت، کربن و دولومیت تکلیس شده)، بررسی شد. بررسی‌های ترمودینامیکی، نشان داد که احیای کربوترمی مولبیدنیت در حضور این عوامل به راحتی امکان‌پذیر بوده و با تشکیل فازهای میانی نظر CaMoO_4 و MgMoO_4 پیش می‌رود. فعالسازی مکانیکی کلیه مخلوط‌های پودری (مخلوط مولبیدنیت، کربن و اکسیدمنزیم) به ترتیب با نسبت مولی ۲:۲:۱ و مخلوط مولبیدنیت، کربن و دولومیت تکلیس شده به ترتیب با نسبت مولی ۲:۲:۱، در یک آسیاب گلوله‌ای، در محیط گاز خنثی آرگون و برای مدت زمان‌های ۱۰ تا ۵۰ ساعت، صورت گرفت. نتایج حاصل از آزمون پراش پرتو ایکس (XRD) کلیه نمونه‌ها، نشان داد که در حین فعالسازی مکانیکی، هیچ واکنشی در محفظه آسیاب انجام نشده است. همچنین تغییرات اندازه‌دانه، کرنش ساختاری و درصد بی‌شکل شدگی ذرات مولبیدنیت با فعالسازی مکانیکی در دو مخلوط پودری ذکر شده، مورد بررسی قرار گرفت و مشخص شد که آسیاب کاری، اثر شدیدی بر کاهش اندازه دانه و افزایش کرنش ساختاری و درصد بی‌شکل شدگی ذرات مولبیدنیت دارد. البته شدت این تغییرات، در مخلوط پودری مولبیدنیت، کربن و دولومیت تکلیس شده به مراتب بالاتر از مخلوط پودری مولبیدنیت، کربن و اکسیدمنزیم بوده است. از پارامترهای $d/\beta \tan(\Theta)$ و d/β ، جهت مقایسه شدت فعال شدگی مخلوط‌های پودری، استفاده شد. تصاویر میکروسکوپ الکترونی رویشی (SEM)، نشان داد که افزایش زمان فعالسازی مخلوط‌های پودری، سبب کاهش اندازه ذرات و همچنین ایجاد ساختاری مرکب و متراکم از ذرات می‌گردد. اثر فعالسازی مکانیکی بر رفتار احیایی نمونه‌های مختلف با استفاده از آزمون آنالیز حرارتی (STA)، بررسی گردید. نمونه‌ها در اتمسفر آرگون و با سرعت‌های ۲۰، ۱۵، ۱۰ و ۵ درجه بر دقیقه، حرارت داده شدند. منحنی‌های کسر انجام واکنش بر حسب دما نشان داد که دمای شروع واکنش احیا به شدت تحت تأثیر میزان فعالسازی مکانیکی است. به طوری که با انجام ۵۰ ساعت آسیاب کاری، دمای شروع واکنش احیا در مخلوط مولبیدنیت، کربن و اکسیدمنزیم، حدود 190°C و در مخلوط مولبیدنیت، گرافیت و دولومیت تکلیس شده حدود 240°C کاهش یافته است. سینتیک احیای مخلوط‌های پودری با استفاده از روش برازش مدل کوتز-ردفن و روش‌های بدون مدل اوزوا، فریدمن و کسینجر مورد بررسی قرار گرفت. بررسی‌ها نشان داد که در احیای کربوترمی مولبیدنیت در حضور اکسیدمنزیم انجام واکنش بودوارد کنترل‌کننده مرحله و کنترل کننده واکنش احیاست. بر اساس محاسبات سینتیکی در مخلوط مولبیدنیت، کربن و اکسیدمنزیم مقدار انرژی اکتیواسیون و ضریب پیش‌نمایی (نمونه فعالسازی نشده) به ترتیب حدود 425 kJ.mol^{-1} و $7\times 10^{-1}\text{ sec}^{-1}$ می‌باشد که با انجام ۵۰ ساعت آسیاب کاری به 251 kJ.mol^{-1} و $1\times 10^{-1}\text{ sec}^{-1}$ کاهش می‌یابد. در نمونه فعالسازی شده مدل حاکم بر واکنش، مدل کنترل شیمیایی در فصل مشترک تعیین شد. همچنین بررسی‌ها نشان داد که در احیای کربوترمی مولبیدنیت در حضور دولومیت تکلیس شده، انجام واکنش بودوارد کنترل‌کننده و کنترل کننده واکنش احیا بوده است. در این مخلوط مقادیر انرژی اکتیواسیون و ضریب پیش‌نمایی (نمونه فعالسازی نشده) به ترتیب حدود 367 kJ.mol^{-1} و $1\times 10^{-12}\text{ sec}^{-1}$ می‌باشد که با انجام ۵۰ ساعت آسیاب کاری به 226 kJ.mol^{-1} و $4\times 10^{-9}\text{ sec}^{-1}$ کاهش یافته است. در این حالت نفوذ اتم‌های واکنشگر به منظور تشکیل فاز میانی، کنترل کننده بخش عمدۀ واکنش بوده است.

کلمات کلیدی: مولبیدنیت، احیا، اکسیدمنزیم، دولومیت، سینتیک.

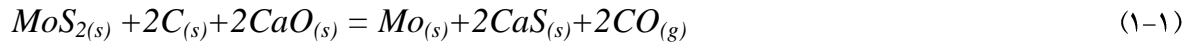
فصل اول

مقدمه

مولیبدن فلزی کمیاب و ارزشمند است که در صنایع مختلف نظیر تولید فولاد، صنایع الکتریکی و الکترونیکی، انرژی هسته‌ای و نفت کاربرد دارد. مولیبدنیت، مهمترین کانه مولیبدن به شمار آورده می‌شود. در ایران، مولیبدنیت در معادن سرچشم و خاتون آباد، همراه با کانه مس وجود دارد. این کانه به روش فلوتاسیون، مورد تغییظ قرار می‌گیرد. با توجه به اهمیت مولیبدن، فرآیندهای استحصال و تولید این فلز، همواره مورد توجه بوده، به طوریکه تاکنون روش‌های صنعتی و آزمایشی بسیاری، برای استحصال مولیبدن از مولیبدنیت، به کار گرفته شده‌است. رایج‌ترین روش صنعتی به کاربرده شده، تشویه مولیبدنیت و تولید اکسید آن (MoO_3)، خالص‌سازی این ترکیب و سپس احیای آن با گاز هیدروژن بوده‌است. این فرآیند با مشکلات زیادی از قبیل آلدگی‌های زیست محیطی، به دلیل تولید و پخش گاز SO_2 هدر رفتن مولیبدن به دلیل فرار بودن ترکیبات اکسیدی آن، طولانی بودن روند احیا و بالا بودن هزینه تولید، همراه است [۱]. این محدودیت‌ها، سبب شده که فرآیندهای دیگری نظیر متالوترمی^۱، تجزیه مستقیم حرارتی، کلریناسیون و ذوب قلیایی، به منظور بازیابی مولیبدن از مولیبدنیت پیشنهاد شود، اما تاکنون هیچ یک از این روش‌ها در مقیاس صنعتی مورد پذیرش قرار نگرفته‌است [۲-۴].

در سال ۱۹۹۳، عنوان شد که با ورود عاملی با قابلیت جذب گوگرد بالا، می‌توان احیای مستقیم را تا حدود زیادی تسهیل کرده و مشکلات ناشی از ورود گاز SO_2 را برطرف نمود. آهک و هیدروکسید آهک، ترکیباتی هستند که تاکنون در صنایع مختلف به عنوان عامل جاذب گوگرد، به منظور برطرف کردن مشکلات احیا، از آنها استفاده شده است [۵]. احیای مولیبدنیت در حضور آهک، توسط احیا کننده‌های گازی مختلف (نظیر H_2 , CO و CH_4)، صورت گرفته است. استفاده از عوامل گازی نظیر هیدروژن، به دلیل قیمت نسبتاً بالای تجهیزات به کار برده شده در طول فرآیند، چندان مرسوم نیست. همچنین در فرآیند احیا با مونوکسید کربن، محصول به دست آمده کاربید مولیبدن بوده است. از طرف دیگر در فرآیند احیا با گاز متان، پیشرفت احیا به خاطر رسوب کربنی که در اثر تجزیه متان تولید

می شود، مختل می گردد [۶-۸]. به منظور بر طرف کردن مشکلات مذکور، احیای کربوترمی، به عنوان یک روش مناسب، برای استخراج مولیبدن از مولیبدنیت مطرح شده است. ترمودینامیک احیای کربوترمی مولیبدنیت، در حضور عامل جاذب گوگرد نظری آهک، در سال ۱۹۹۷، توسط پادیلا^۱ و همکارانش [۹] مورد بررسی قرار گرفته است. در این پژوهش، مشاهده شد احیای کربوترمی مولیبدنیت، که از لحاظ ترمودینامیکی در دماهای زیر ۱۳۰۰°C امکان پذیر نبوده، با تشکیل فاز میانی CaMoO₄، انجام پذیر می شود. واکنش کلی احیای کربوترمی مولیبدنیت در حضور آهک، به صورت زیر پیشنهاد شده است:



انجام این واکنش، به دماهای بالا نیاز داشته و از نظر سینتیکی، کند می باشد. به منظور افزایش سینتیک این واکنش و واکنش های نظری آن، فرآیند فعال سازی مکانیکی، مطرح شده است. از فعال سازی مکانیکی، به عنوان یک عملیات آماده سازی، برای ایجاد ذرات ریز با سطوح فعال و انرژی درونی بالا، به منظور بالا بردن سینتیک واکنش ها، استفاده می شود. فعال سازی مکانیکی، در سال های اخیر بسیار مورد توجه بوده و تحقیقات زیادی در زمینه اثر فعال سازی مکانیکی، بر بهبود فرآیندهای مختلف، صورت گرفته است [۱۰]. انجام عملیات فعال سازی روی کانه های سولفیدی این امکان را می دهد که فرآیندهای تولید فلزات از حالت چند مرحله ای به حالت تک مرحله ای تبدیل شود. بالاز^۲ و همکارانش [۱۱ و ۱۲] در سال های ۲۰۰۵ تا ۲۰۰۳، اثر عملیات فعال سازی مکانیکی، بر روی ساختار کانه های سولفیدی را مورد بررسی قرار دادند. در تحقیقاتی که در سال های ۲۰۰۴ و ۲۰۰۷ انجام شد، مکانیزم های مختلف فعال سازی مکانیکی بر روی کانه های سولفیدی نظری مولیبدنیت مورد بررسی قرار گرفت. این پژوهش ها نشان داد که فعال سازی مکانیکی منجر به تغییر موقعیت های اتمی و ایجاد اعوجاج در ساختار شبکه ای مولیبدنیت می شود [۱۳ و ۱۴]. اثر فعال سازی مکانیکی، بر سینتیک فرآیندهای نیز در پژوهش های سال های اخیر دیده می شود. به عنوان مثال، در سال ۲۰۰۷، اثر فعال سازی مکانیکی، بر تشویه مولیبدنیت، مورد بررسی قرار گرفت. در این پژوهش مشاهده شد که با اعمال فعال سازی مکانیکی، دمای شروع واکنش، به میزان چشم گیری کاهش می یابد. این کاهش دما به دلیل ایجاد تغییرات فیزیکی در ساختار مولیبدنیت، همراه با تغییر مکانیزم کنترل کنندگی واکنش، از کنترل شیمیایی به کنترل نفوذی، می باشد. در این پژوهش ها پارامترهای سینتیکی مربوط به فرآیندهای مذکور، مورد محاسبه قرار گرفته است [۱۵، ۱۶ و ۱۷]. همچنین اثر فعال سازی مکانیکی بر احیای کربوترمی مولیبدنیت در حضور آهک، در شرایط غیر هم دما، نیز مورد بررسی قرار گرفته است. این پژوهش نشان داد که در اثر کار مکانیکی، انرژی اکتیواسیون و دمای واکنش به میزان چشم گیری، کاهش می یابد [۱۸].

به طور کلی تحقیقات انجام شده در زمینه احیای مستقیم، به این نکته اشاره دارند که فرآیند فعال سازی مکانیکی مواد جامد، منجر به کاهش دمای شروع واکنش و افزایش سرعت آن می شود. اما در خصوص تأثیر فعال سازی مکانیکی بر روی احیای کربوترمی سولفیدهایی نظری مولیبدنیت، در حضور سایر عوامل جاذب گوگرد و بررسی اثر آنها بر روند واکنش، تحقیقاتی صورت نگرفته که نشان دهنده لزوم پژوهش های بیشتر در این زمینه به منظور تعیین دقیق مکانیزم و سینتیک مراحل مختلف احیا، در حضور این عوامل جاذب گوگرد می باشد. به همین دلیل در این پژوهش با

1- Padilla.R

2- Balaz.P

استفاده از بررسی‌های ساختاری، مورفولوژیکی، ترمودینامیکی و سینتیکی به مطالعه اثرات فعال‌سازی مکانیکی بر واکنش احیای مولیدنیت با کربن، در حضور سایر عوامل جاذب گوگرد شامل اکسیدمنیزیم و دولومیت، پرداخته خواهد شد.

مطلوب ارائه شده در این گزارش در فصل‌های مختلف به صورت زیر می‌باشد:

فصل دوم: مروری بر مطالب

فصل سوم: آنالیز داده‌های سینتیکی در بررسی‌های غیر هم‌دما

فصل چهارم: مواد و روش تحقیق

فصل پنجم: نتایج و بحث

فصل ششم: نتیجه‌گیری

فصل دوم

مرواری بر مطالب

۱-۲- معرفی و تاریخچه

نام مولیبدن^۱، از واژه یونانی Molybdos (به معنای شبه سرب)، گرفته شده است. در صد مولیبدن در پوسته زمین، در حدود $10^{-3} \times 1/5$ می باشد که این مقدار، به صورت ترکیب بوده و به طور آزاد وجود ندارد. استحکام خوب در دمای بالا، مقاومت خوشی مناسب، هدایت حرارتی بالا و ضریب انبساط حرارتی پایین، سبب شده که مولیبدن، به عنوان یک ماده اولیه قابل مصرف، در صنایع مختلف به کار برده شود [۱۹ و ۲۰]. برخی از این کاربردها عبارتند از:

- تولید فولاد و چدن
- رنگ و کود
- وسایل حمل و نقل و نیروگاهها
- صنایع غذایی و شیمیایی
- صنایع نفت
- عامل روانساز

تاکنون حدود ۳۰ کانی، که در آنها مولیبدن یافت می شود، پیدا شده است. در این میان می توان به مهمترین این کانیها نظری مولیبدنیت^۲، ولفنیت^۳، پولیلت^۴، فریمولیبدنیت و مولیبدات اشاره کرد [۲۰]. در این میان مولیبدنیت و ولفنیت در حد کافی مولیبدن داشته و به عنوان کانیهای اصلی مولیبدن به شمار آورده می شوند.

1- Molybdenum

2- Molybdenite

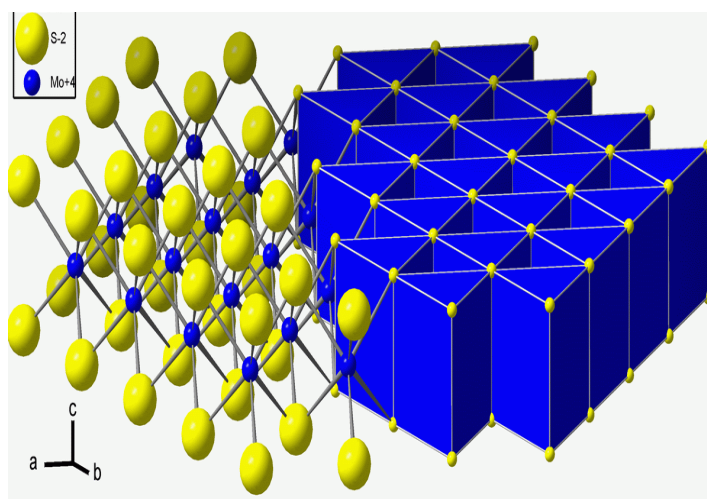
3- Wolfnite

4- Powellite



شکل ۲-۱: مولیبدنیت [۲۳].

مولیبدنیت، به عنوان اصلی‌ترین ماده اولیه، برای تولید فلز مولیبدن، به شمار آورده می‌شود. مولیبدنیت در سنگ‌های آتشفسانی، به میزان $0/0/2$ درصد به صورت پراکنده یافت می‌شود. همچنین به میزان $0/0/2$ تا $0/0/8$ درصد در ذخایر فقیر مس، موجود بوده و به صورت محصول جانبی و در عملیات کانه‌آرایی، می‌تواند بازیابی شود. هشتاد درصد تولید جهانی مولیبدن، از این طریق انجام می‌شود [۱۹]. مولیبدنیت، عموماً دارای شبکه هگزاگونال ($a=۳/۱۶\text{ \AA}^\circ$ ، $c=۱۲/۲۱\text{ \AA}^\circ$ ، $c=۱۸/۳۸\text{ \AA}^\circ$) و گاهی رومبودرال ($a=۳/۱۷\text{ \AA}^\circ$) می‌باشد. مولیبدن در مرکز یک شش وجهی و اتم‌های گوگرد در اطراف آن قرار می‌گیرند. نحوه قرارگیری اتم‌ها در شکل ۲-۲ نشان داده شده است. در ساختار مولیبدنیت، لایه‌ها از صفحات متراکم اتم‌های فلزی مولیبدن، تشکیل شده‌اند که به صورت ساندویچی در بین دو صفحه مشابه از اتم‌های گوگرد قرار گرفته‌اند و کلیواژ خیلی عالی دارند. در هر لایه S-Mo-S پیوندهای قوی کووالانت وجود دارد، در حالیکه لایه‌ها به واسطه نیروهای ضعیف واندروالس در کنار یکدیگر قرار گرفته‌اند. این امر سبب شده که لایه‌ها به راحتی بتوانند روی یکدیگر بلغزنند. این ویژگی سبب می‌شود که ضربه اصطکاک مولیبدنیت، کم شده و در صنعت از آن به عنوان روانکار استفاده شود [۱۹، ۲۱ و ۲۲]. خواص فیزیکی و شیمیایی مولیبدنیت در جدول ۱-۲ به صورت اجمالی آورده شده است.



شکل ۲-۲: نمایش شماتیک، قرارگیری اتم‌های گوگرد و مولیبدن در ساختار کریستالی مولیبدنیت [۲۳].

جدول ۲- خواص فیزیکی و شیمیایی مولیبدنیت [۲۰].

جدول ۲- خواص فیزیکی و شیمیایی مولیبدنیت (Molybdenite)	
هگزاگونال	سیستم تبلور
مولیبدنیت	ردی بندی
فلزی	جلا
کدر(اپاک)	شفافیت
بلورهای کوچک - فلزی - تجمع پولکها	اشکال ظاهری
محلول در HF و قلیاهای الکالی	خواص شیمیایی
Mo=۵۹/۹۴٪، S=۴۰/۰۶٪	ترکیب شیمیایی
خاکستری - آبی متما일 به بنفس	رنگ کانی
خاکستری - آبی ، بعد از انبساط سیز رنگ	رنگ اثر خط
گرافیت - اسپکولاریت	تشابه کانی شناسی
ولفرامیت، شیلیت، کوارتز، بیسموتینیت، آرسنوبیریت	پاراژنر
بلورهای مسطح و کوتاه	شکل بلورها
صنایع فولاد - الکترونیک - صنایع شیمیائی و غیره	کاربرد
آلمان	محل پیدایش
به صورت ورقه های کوچک قابل انعطاف و غیر قابل ارتتعاج بوده و در لمس کردن آن حالت چرب دارد. قابلیت ذوب آن کم بوده و دراسیدها کمتر محلول است. با آب شسته می شود و کانی های مشابه آن گرافیت، اسپکولاریت است که از آنها توسط اثر خط و جلای متفاوت شناخته می شود.	ساختمان مشخصات
از کلمه یونانی molybdos، به معنای شبه سرب، گرفته شده است.	وجه تسمیه

۲- روش های تولید مولیبدن از مولیبدنیت

با توجه به اهمیت مولیبدن، به عنوان یکی از مواد اولیه قابل مصرف در صنایع مختلف، بررسی روش های تولید، به منظور بهبود فرآیندهای استخراج این فلز ضروری به نظر می رسد. استخراج مولیبدن از مولیبدنیت به روش های هیدرومتوالورژی^۱ و پایرمتوالورژی^۲ صورت می گیرد.

1- Hydrometallurgy

2- Pyrometallurgy